

на выходе чувствительного элемента на  $90^\circ$ , наблюдался при значении магнитного поля около 800 Э, а соответствующий отношению сигнал—шум, равному единице, — при  $10^{-2}$  Э. Температурные испытания показали постоянство основных характеристик в диапазоне от 0 до  $150^\circ\text{C}$ . При низких температурах изменяются упругие свойства полимерного покрытия (у нас эпоксиакрилат). Очевидно, что эта проблема не является принципиальной, поскольку разработан целый класс низкотемпературных покрытий для ВС, которых мы, к сожалению, на момент работы не имели.

Таким образом, предложена практическая конструкция чувствительного элемента волоконно-оптического датчика магнитного поля.

Автор признателен А. Н. Булюку и В. М. Котову за помощь в проведении экспериментов и группе сотрудников (под руководством Г. А. Иванова), в которой был изготовлен ВС.

### Список литературы

- [1] Day G. W., Payne D. N., Barlow A. J., Ramskov-Hansen J. J. // Opt. Lett. 1982. Vol. 7. N 5. P. 238—240.
- [2] Антонов С. Н., Булюк А. Н., Гуляев Ю. В. // Квантовая электрон. 1989. Т. 16. № 11. С. 2310—2316.
- [3] Антонов С. Н., Булюк А. Н., Ветощко П. М. // Письма в ЖТФ. 1989. Т. 15. Вып. 6. С. 76—80.

Институт радиотехники и электроники  
АН СССР  
Фрязинская часть  
Московская область

Поступило в Редакцию  
19 марта 1990 г.

03

Журнал технической физики, т. 61, в. 3, 1991

© 1991 г.

## ПОВЕДЕНИЕ ГАЗОВЫХ ПУЗЫРЬКОВ В ЖИДКИХ ДИЭЛЕКТРИКАХ В ПРИСУТСТВИИ ВНЕШНЕГО ЭЛЕКТРИЧЕСКОГО ПОЛЯ

С. Т. Завацкая, Е. В. Коробко

Влияние внешнего электрического поля на упругие свойства жидкостей вызывает давний интерес (см., например, [1-5]). В настоящей работе теоретически исследовано изменение упругих свойств жидких диэлектриков, содержащих газовые пузырьки, при воздействии как постоянного, так и переменных электрических полей. В качестве жидких диэлектриков могут рассматриваться различные виды масел, а также обыкновенная дистиллированная вода.

Рассмотрим вначале одиночный сферический газовый пузырек в поле с постоянной напряженностью  $E_0$ . Решение задачи о распределении электрического потенциала хорошо известно [6, 7]

$$\varphi_1 = - \frac{3(E_0 \cdot r)}{\left(2 + \frac{\epsilon_1}{\epsilon_2}\right)}, \quad (1)$$

$$\varphi_2 = \frac{\left(\frac{\epsilon_1}{\epsilon_2} - 1\right) R^3 (E_0 \cdot r)}{\left(2 + \frac{\epsilon_1}{\epsilon_2}\right) r^3} - (E_0 \cdot r). \quad (2)$$

Здесь  $\varphi_1$  и  $\varphi_2$  — соответственно потенциалы поля внутри и вне пузырька;  $\epsilon_1$  и  $\epsilon_2$  — соответственно диэлектрические проницаемости газа, содержащегося в пузырьке, и окружающей его жидкости;  $R$  — радиус пузырька;  $r$  — радиус-вектор, начало которого совпадает с центром пузырька. Полная энергия электрического поля

$$U = \frac{1}{2} \int (\mathbf{E} \cdot \mathbf{D}) dV, \quad (3)$$

где  $\mathbf{D} = \epsilon \epsilon_0 \mathbf{E}$  — вектор электрической индукции; интеграл (3) вычисляется по всему объему, занимаемому пузырьком и жидкостью.

Физический интерес, однако, представляет полная энергия поля, из которой исключена та часть, которая существовала бы во всем пространстве в отсутствие пузырька [6]. Вычисляя эту величину, находим

$$U = \frac{2\pi}{3} \epsilon_0 R^3 E_0^2 \frac{(\epsilon_1 - \epsilon_2)}{\left(2 + \frac{\epsilon_1}{\epsilon_2}\right)}. \quad (4)$$

Предположим, что радиус пузырька может изменяться. Осуществляя стандартным образом [8, 9] построение функции Лагранжа пузырька с учетом потенциальной энергии (4) и самого уравнения движения, имеем

$$R\ddot{R} + \frac{3}{2}\dot{R}^2 = \frac{p - p_0}{\rho} - \frac{\epsilon_0 E_0^2}{2\rho} \frac{(\epsilon_1 - \epsilon_2)}{\left(2 + \frac{\epsilon_1}{\epsilon_2}\right)}, \quad (5)$$

где  $p$  — давление газа в пузырьке,  $p_0$  — статическое давление,  $\rho$  — плотность жидкости.

Из полученного уравнения видно, что включение постоянного электрического поля эквивалентно изменению статического давления на величину

$$\Delta p_0 = \frac{\epsilon_0 E_0^2}{2} \frac{(\epsilon_1 - \epsilon_2)}{\left(2 + \frac{\epsilon_1}{\epsilon_2}\right)}. \quad (6)$$

При этом равновесный радиус пузырька становится равным  $R = R_0 (1 + \Delta p_0 / p_0)^{-1/3}$ , где  $R_0$  — равновесный радиус в отсутствие поля. Соответственно изменяется резонансная частота колебаний пузырька [8, 9]  $\omega = \omega_0 (1 + \Delta p / p_0)^{1/3}$ , где  $\omega_0 = \sqrt{(3\gamma p_0) / (\rho R_0^2)}$ ,  $\gamma$  — постоянная адибаты газа в пузырьке.

Скорость низкочастотной звуковой волны давления, распространяющейся в жидкости с пузырьками газа, определяется известным соотношением [8]

$$c_1 = c \left(1 + \tau \frac{\rho c^2}{\gamma p_0}\right)^{-1/2},$$

где  $c$  — скорость звука в чистой жидкости,  $\tau$  — объемное газосодержание.

Для воды в обычных условиях при  $\tau > 10^{-4}$  величина  $c_1 \approx \sqrt{\gamma p_0 / \rho \tau}$ . Включение постоянного электрического поля приводит к изменению  $p_0$  и  $\tau$ . В результате

$$c_1 \approx \sqrt{\frac{\gamma p_0}{\rho \tau}} \left(1 + \frac{\Delta p}{p_0}\right).$$

Для воздушных пузырьков в воде при напряженности  $E_0 = 10^5$  В/см величина  $\Delta p_0 \approx -0.18$  атм.

Пусть теперь внешнее электрическое поле зависит от времени, например  $E = \sqrt{2} E_0 \cos \Omega t$ . Тогда второй член правой части уравнения (5) может быть представлен в виде суммы  $-(\Delta p_0 + \Delta p_0 \cos 2\Omega t) / \rho$ , где  $\Delta p_0$  определяется формулой (6). Таким образом, во-первых, включение внешнего переменного электрического поля также приводит к сдвигу статического уровня давления. Во-вторых, воздействие этого поля на пузырек эквивалентно воздействию на него акустической волны с амплитудой  $\Delta p_0$  и удвоенной частотой. Последний результат позволяет использовать электрические поля в качестве эффективных возбудителей колебаний пузырьков с целью исследования различного рода нелинейных эффектов, связанных с прохождением звуковых волн сквозь такие среды [10-12].

#### Список литературы

- [1] Nolle A. W. // J. Appl. Phys. 1949. Vol. 20. N 6. P. 589—592.
- [2] Bolt R. M., Giacominì A. // J. Acoust. Soc. Am. 1948. Vol. 20. N 2. P. 341—343.
- [3] Bonetti A. // Ric. Sci. 1948. Vol. 18. N 7. P. 777—780.
- [4] Электрореологический эффект / Под ред. А. В. Лыкова. Минск: Наука и техника, 1972. 176 с.
- [5] Коробко Е. В., Чернобай И. А. // ИФЖ. 1985. Т. 8. № 2. С. 219—224.
- [6] Ландау Л. Д., Лифшиц Е. М. Электродинамика сплошных сред. М.: Наука, 1982. 620 с.
- [7] Пановский В., Филипп М. Классическая электродинамика. М.: Гос. изд. физ.-мат. лит., 1963. 432 с.
- [8] Красильников В. А., Крылов В. В. Введение в физическую акустику. М.: Наука, 1984. 400 с.
- [9] Левковский Ю. Л. Структура кавитационных течений. Л.: Судостроение, 1978. 224 с.

- [10] Кобелев Ю. А., Островский Л. А., Сутин А. М. // Письма в ЖЭТФ. 1979. Т. 30. Вып. 7. С. 423—425.  
 [11] Максимов А. О. // ЖТФ. 1986. Т. 56. Вып. 1. С. 185—189.  
 [12] Заболотская Е. А. // Тр. ИОФАН. 1989. Т. 18. С. 121—155.

Белорусский государственный университет им. В. И. Ленина  
 Институт тепло- и массообмена им. А. В. Лыкова АН БССР  
 Минск

Поступило в Редакцию  
 17 марта 1990 г.

03

Журнал технической физики, т. 61, в. 3, 1991

© 1991 г.

## ВРЕМЕНА ВКЛЮЧЕНИЯ ЭФФЕКТА ФРЕДЕРИКСА В ГИДРОДИНАМИЧЕСКОМ ПОТОКЕ

Ю. В. Бочаров, А. Д. Вужва

В [1] был описан нелинейный режим течения нематического жидкого кристалла (НЖК) в окрестности порога перехода Фредерикса. В настоящей работе исследуются переходные процессы, свойственные этому режиму. Экспериментальная методика аналогична использованной в [1]. Электрическое напряжение с генератора звуковой частоты (50 Гц) подавалось

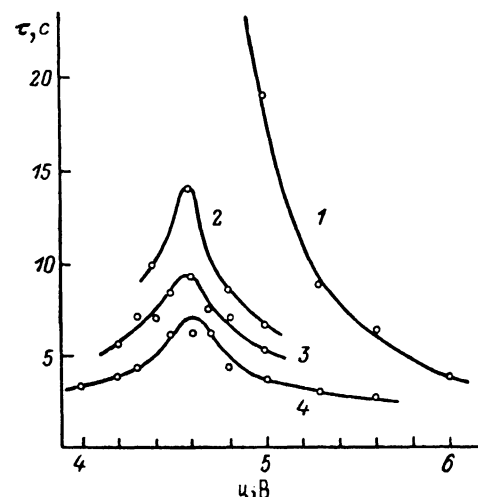


Рис. 1. Зависимость времени включения эффекта Фредерикса от напряжения.

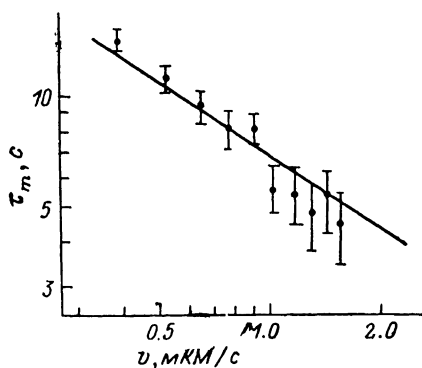


Рис. 2. Зависимость максимальных значений времен включения от скорости потока.

на слой НЖК марки Н-8 гомеотропной ориентации толщиной 50 мкм. Измерение оптической прозрачности слоя проводилось в монохроматическом свете (He—Ne лазер,  $\lambda = 0.63$  мкм). Порог перехода Фредерикса  $u_0 = 4.60$  В. Сигнал с приемного фотодиода регистрировался запоминающим осциллографом. Зависимость времени включения эффекта Фредерикса  $\tau$  от величины подаваемого напряжения  $u$  представлена на рис. 1. Разным кривым соответствуют следующие величины скоростей одной из подложек, между которыми располагался слой НЖК: 1 —  $v = 0$ , 2 — 0.4, 3 — 0.65, 4 — 1.22 мкм·с<sup>-1</sup>.

Увеличение скорости потока приводит к снижению величины времени включения. Зависимость максимальных значений времен включения, которые соответствуют порогу перехода Фредерикса,  $\tau_m$  от скорости  $v$  представлена на рис. 2 ( $\tau_m \sim v^{-0.7}$ ).

Уравнение для малых углов отклонения директора  $\theta \ll 1$  имеет вид

$$\frac{\gamma}{K} \frac{\partial \theta}{\partial t} = \frac{\partial^2 \theta}{\partial z^2} + k_E^2 \left( \theta - \frac{2}{3} \theta^3 \right) - k_0^2 (\Phi - \Phi \theta^2), \quad (1)$$